文章编号:1000-7601(2018)04-0088-06

doi:10.7606/j.issn.1000-7601.2018.04.13

# 不同耕作方式下旱作玉米田土壤 CO<sub>2</sub> 排放量 及其与土壤水热的关系

张俊丽1,张锦丽2,赵晓进1,廖允成3,景小丽1,薛 菁1

(1.渭南市农业技术推广中心,陕西 渭南 714000;2.武汉市东西湖区环境监测站,湖北 武汉 430000; 3.西北农林科技大学农学院,陕西 杨凌 712100)

摘 要:为探讨不同耕作方式对旱作玉米田土壤 CO<sub>2</sub>排放量的影响,设置深松耕(DT)、翻耕(PT)和免耕(NT)3个处理,分析3种耕作方式下土壤 CO<sub>2</sub>排放量的动态变化及其与土壤温度和土壤水分间的关系。结果显示:2010—2011年夏玉米生长季,3种耕作方式下土壤 CO<sub>2</sub>排放量均呈先增后降的变化趋势,表现为 DT>PT>NT,且不同处理间差异显著(P<0.05);耕作方式可显著影响夏玉米生育前期土壤温度,且土壤 CO<sub>2</sub>排放量对不同耕作方式下土壤温度的敏感性不同,土壤温度分别可以解释 PT、DT 和 NT 处理土壤 CO<sub>2</sub>排放量季节变化的 50.72%~53.90%、48.10%~59.63%和 13.31%~19.90%;土壤水分和温度共同分别可以解释旱作夏玉米田 DT 和 PT 处理下土壤 CO<sub>2</sub>排放量季节变化的 57.61%~76.83%和 56.62%~67.12%。土壤温度和水分是影响旱作农田 DT 和 PT 处理下土壤 CO<sub>2</sub>排放量的关键因素。

关键词:土壤 CO,排放量;土壤温度;土壤水分;夏玉米;耕作方式

中图分类号:S157 文献标志码:A

# Effects of different tillages on soil CO<sub>2</sub> flux, and its relation to soil moisture and soil temperature in dry-land maize field

ZHANG Jun-li<sup>1</sup>, ZHANG Jin-li<sup>2</sup>, ZHAO Xiao-jin<sup>1</sup>, LIAO Yun-cheng<sup>3</sup>, JING Xiao-li<sup>1</sup>, XUE Jing<sup>1</sup>

- (1. Weinan City Agricultral Technology Promotion Center, Weinan Shaanxi 714000, China;
- 2. Environment Monitor Station in Dongxihu District of Wuhan, Wuhan Hubei 430000, China;
  - 3. Collage of Agronomy, Northwest A&F University, Yangling Shaanxi 712100, China)

**Abstract:** An experiment was conducted to explore the effects of different tillages on soil  $CO_2$  flux, and its relation to soil moisture and soil temperature in dry-land maize field. Summer maize was planted using three different tillages, including deep tillage (DT), plow tillage (PT) and no tillage (NT). The results indicated that soil  $CO_2$  flux was first increased and then decreased in all 3 tillage systems during the whole maize growth period in 2010–2011, the miximum of soil  $CO_2$  flux was DT, follwed by PT, and NT, and there was significant difference between different treatments (P < 0.05). The effect of tillage system on soil temperature are more significant at early stage than at later stage. There was difference in the temperature sensitivity of soil  $CO_2$  flux in different tillages, Soil temperature could explain  $50.72\% \sim 53.90\%$ ,  $48.10\% \sim 59.63\%$  and  $13.31\% \sim 19.90\%$  seasonal variation of soil  $CO_2$  flux under PT, and DT and NT treatments. Soil temperature and soil moisture could explain  $57.61\% \sim 76.83\%$  and  $56.62\% \sim 67.12\%$  seasonal variations of soil  $CO_2$  flux under DT and PT treatments, indicating that soil temperature and soil moisture are the key factors affecting soil  $CO_2$  flux under DT and PT treatments in dry-land maize field.

**Keyword**: soil CO<sub>2</sub> flux; soil temperature; soil moisture; summer maize; tillage system

以温室气体增加导致的全球气候变暖是当前 备受关注的全球性环境问题<sup>[1-2]</sup>,CO<sub>2</sub>是主要的温室 气体之一,增温贡献率达 56%<sup>[3]</sup>。农田土壤 CO<sub>2</sub>排

放量占人类活动释放到大气 CO<sub>2</sub>排放量的 1/4<sup>[4]</sup>, 微小的土壤 CO<sub>2</sub>排放量改变可明显影响大气中的 CO<sub>2</sub>浓度,从而减缓或加剧气候变暖<sup>[1,5-6]</sup>。因此,明

确农田土壤 CO,排放量的变化规律及其调控机制对 客观评估区域碳排放及评价碳源/汇效应有重要意 义。农田生态系统受人为活动和自然环境影响较 大,耕作、施肥、种植制度、土壤 pH 值及土壤温度和 水分等改变都可使土壤 CO。排放量呈现空间和时间 上的差异[2,4-8]。有研究显示,土壤水分和温度是影 响农田土壤 CO,排放的关键因素,两者相互协调共 同调控土壤 CO<sub>2</sub>排放<sup>[1,6-7,9]</sup>,耕作、施肥等措施直接 或间接影响农田土壤水分和温度,进而改变土壤 CO,排放量[1,3,6-9]。土壤水分、温度与土壤 CO,排放 量的关系可以用线性、指数、二次函数等模型描述, 通过建立模型分析土壤水热与土壤 CO,排放量的关 系,有助于了解未来气候变化条件下旱作农田土壤 碳排放的规律[5-6,8-9]。目前,有关土壤 CO2排放量 与土壤水热关系的研究较多,但立足旱作夏玉米田 的研究尚不多见。旱作农田在农田生态系统中占 有重要地位,而夏玉米又是我国西北地区"压夏扩 秋"的重要粮食作物,研究旱作夏玉米田碳排放对 探讨粮食安全和节能减排有重要意义。因此,本研 究基于旱作夏玉米农田,分析不同耕作方式下土壤 水热与土壤 CO,排放量的关系,以期为客观预测未 来气候条件下土壤碳排放量及补充完善土壤碳排 放机理提供依据。

### 1 材料与方法

#### 1.1 试验区概况

试验于 2010-2011 年在西北农林科技大学试验田(E108°10′, N34°21′)进行。该区域年均日照2 196 h,无霜期约 220 d,年均温  $12 \sim 14 \, ^{\circ} \, C$ ,2000-2010年 10 a 年均降雨量 602.45 mm,降雨主要集中在 6-9 月(图 1),2010、2011年夏玉米生长季(6 月 20 日至 10 月 15 日)降雨量分别为 496.0 mm 和 695.4 mm。

#### 1.2 试验设计

本研究为长期定位试验,始于 2008 年 10 月。设深松耕(DT)、翻耕(PT) 和免耕(NT) 3 个处理。深松耕:冬小麦收获后,深松机(西北农林科技大学机械与电子工程学院研制)深松耕 30~35 cm;翻耕:冬小麦收获后,翻耕机翻耕 25~30 cm;免耕:冬小麦收获后,为保证出苗,旋耕机浅旋 5 cm 左右。采用硬茬播种机播种,玉米品种巡天 19 号,播种量 90 kg·hm<sup>-2</sup>,株距 24 cm,行距 60 cm,每年 6 月 20 日播

种,10 月 15 日收获。底肥施尿素 [ $\omega$ (N) = 46%] 375 kg·hm<sup>-2</sup>、过磷酸钙[ $\omega$ (P<sub>2</sub>O<sub>5</sub>) = 16%]750 kg·hm<sup>-2</sup>,不追肥。每处理 3 次重复,小区面积 10 m×25 m = 250 m<sup>2</sup>。整个生育期试验田不灌水,全部为旱作,除草、除虫等农田管理措施与当地农田一致。

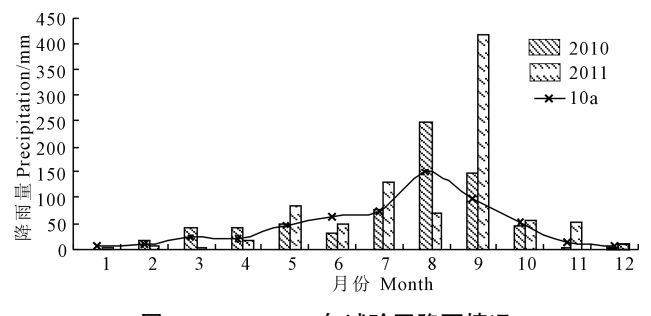


图 1 2010-2011 年试验区降雨情况

Fig.1 Rainfall condition at experimental site in 2010 and 2011 1.3 测定项目

- 1.3.1 土壤 CO<sub>2</sub>排放量 采用便携式红外 CO<sub>2</sub>气体 分析仪(型号:GXH-3010E1,北京华云仪器有限公 司生产)测定。参考张俊丽等<sup>[7]</sup>方法测定。
- 1.3.2 土壤温度 播种后,将地温计埋至作物行间,测定 5~20 cm 地温(5 cm 为 1 层)。6 月 19 日至 10 月 15 日每 10 d 观测一次(若有降雨适当调整),每小区埋没 3 套地温计,作为 3 次重复。
- 1.3.3 土壤水分 测定土壤 CO<sub>2</sub>排放量当天,用土 钻取 0~40 cm 土壤样品,带回实验室采用烘干称量 法测定土壤含水量,3 次重复。

### 1.4 数据分析

土壤  $CO_2$ 排放量(R)计算:

$$R = k(X_2 - X_1) H/\Delta t$$

土壤温度与土壤 CO,排放量的关系:

$$R = ae^{bT} \quad R = a + bT + cT^2$$

土壤  $CO_2$ 排放量对温度的敏感性( $Q_{10}$ ):

$$Q_{10} = e^{10b}$$

土壤水分、温度与土壤 CO,排放量的关系:

$$R = a + bT + cW + dTW$$

式中,R 为土壤  $CO_2$ 排放量[ $mg \cdot (m^2 \cdot h)^{-1}$ ];k 为 换算系数, $k=1.80(25 \, ^{\circ} \, C,1$  个标准大气压); $X_1 \, X_2$  分别为测定时  $CO_2$  初始质量分数和测定结束后  $CO_2$  即时质量分数( $mg \cdot kg^{-1}$ );H 为气室高(m); $\Delta t$  为 测定时间变化(h);T 为地温( $^{\circ} \, C$ ), $Q_{10}$  为土壤呼吸 敏感系数;W 为土壤质量含水量( $^{\circ} \, W$ ), $a \, X_0 \, X$ 

采用 Excel 2007 和 DPS 7.05 软件分析处理数据, Duncan 新复极差法进行方差分析。

### 2 结果与分析

90

# 2.1 不同耕作方式下旱作夏玉米田土壤 CO<sub>2</sub>排放量分析

不同耕作方式下旱作夏玉米田土壤 CO<sub>2</sub>排放量变化规律一致,均随玉米生育期推进呈先增加后下降的变化趋势(图 2 和图 3)。播种前,土壤 CO<sub>2</sub>排放量较低,但不同处理间差异显著(P<0.05),这可能是因为播种前试验田已进行相应耕作处理,土壤结构发生变化,土壤 CO<sub>2</sub>排放量表现出差异。播种后,土壤 CO<sub>2</sub>排放量逐渐升高,玉米出苗后(2010 年为播种后 11 d,2011 年为播种后 9 d)迅速升高,这是因为播种后试验区进入雨季,水分、气温均适宜,夏玉米生长迅速,出苗后,玉米根呼吸增强,并且施入的氮肥为土壤微生物提供了丰富的氮源和能源,进一步促进玉米根系生长和土壤微生物呼吸,使土壤 CO<sub>2</sub>排放量明显增强;作物生育后期生长减缓,根系活力降低,且气温逐渐降低,表现为土壤 CO<sub>2</sub>排放量减小,至成熟收获时降至低值。

不同年际间,3 种耕作处理间土壤  $CO_2$ 排放量差异明显,其中,2010年夏玉米生长季 DT、PT 和 NT 3 个处理下土壤  $CO_2$ 排放量均值分别为 670.93、594.49  $mg \cdot m^{-2} \cdot h^{-1}$ 和 222.04  $mg \cdot m^{-2} \cdot h^{-1}$ ,2011年则分别为 549.13、454.65  $mg \cdot m^{-2} \cdot h^{-1}$ 和 203.14  $mg \cdot m^{-2} \cdot h^{-1}$ ,2 a 试验期间,3 个处理土壤  $CO_2$ 排放量均表现为 DT>PT>NT,且处理间差异均达到显著

水平(P<0.05)。由图 2 和图 3 可知,2011 年 PT 和 DT 处理土壤  $CO_2$ 排放量明显低于 2010 年,这可能与 2011 年夏玉米生长季气温明显低于 2010 年有关(图 4);2011 年 3 种处理土壤  $CO_2$ 排放量峰值出现时间晚于 2010 年,这可能与 2011 年夏玉米生育后期有明显降雨有关(图 5)。

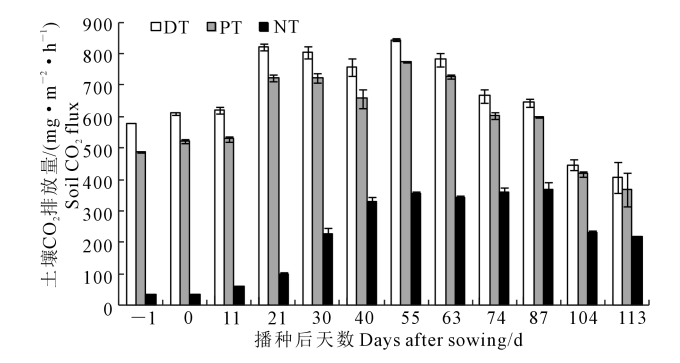


图 2 2010 年不同耕作方式下土壤 CO<sub>2</sub>排放量 Fig.2 Soil CO<sub>2</sub> flux under different tillage systems in 2010

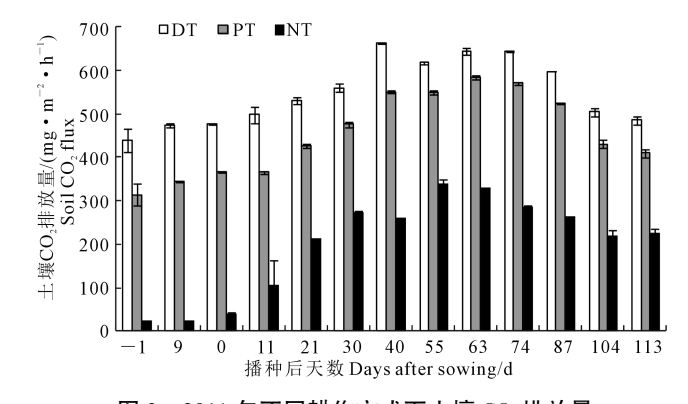
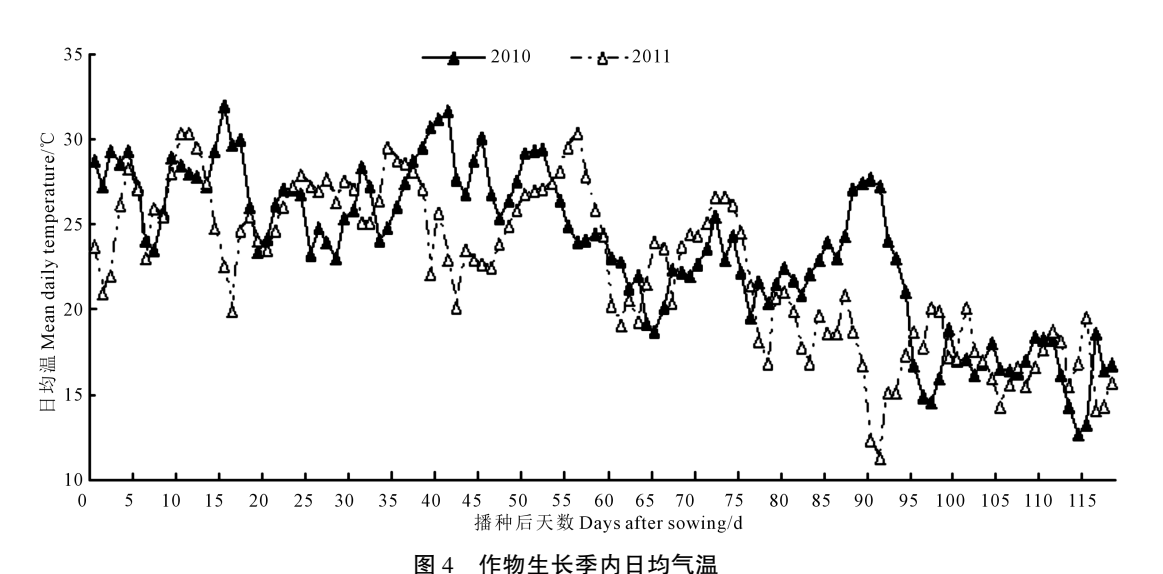


图 3 2011 年不同耕作方式下土壤 CO<sub>2</sub>排放量 Fig.3 Soil CO<sub>2</sub> flux under different tillage systems in 2011



因于 作物工以子的自为 ()血

Fig.4 Mean daily temperature during crop growth season

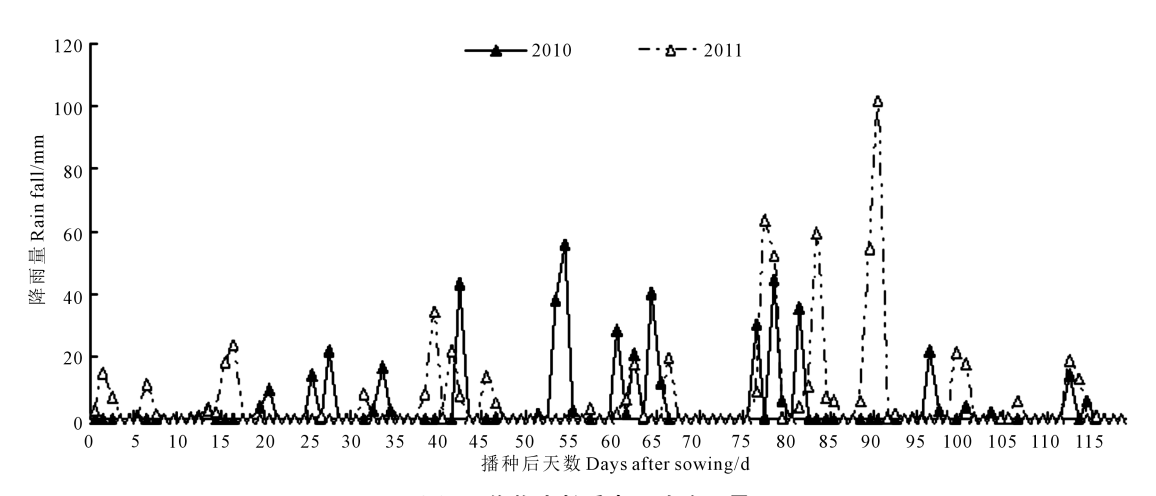


图 5 作物生长季内日均降雨量

Fig.5 Mean daily rainfall during crop growth season

# 2.2 不同耕作方式下旱作夏玉米田土壤温度与土壤 CO<sub>2</sub>排放量的关系

2 a 试验期间,不同土层间表现为土壤温度随土层深度增加而降低,5 cm 和 10 cm 土壤温度明显高于 15 cm 和 20 cm,且 5 cm 和 10 cm 土壤温度差异不显著(P>0.05)。分析不同土层温度可知,各耕作方式对土壤温度的影响差异集中在 5 cm,且表现为在夏玉米生育前期(播种后 0~30 d)影响明显,后期(播种 50 d 后)逐渐缩小。2 a 试验期间,播种后 0~30 d,PT 和 DT 处理差异不显著(P>0.05),但两者均显著高于 NT(P<0.05),其中 2010 年 5 cm 土壤温度均值表现为 PT(27.4 ℃)> DT(27.1 ℃)> NT(26.7℃),2011 年为 PT(28.1℃)> DT(27.2℃)> NT(26.7℃),且 2011 年播种后 0~9 d,PT 处理土壤温度均显著高于 DT 和 NT(P<0.05)。播种后 50 d 至收获期间,3 种耕作方式下各土层土壤温度间的差异均未达到显著水平(P>0.05)。

分析不同土层土壤温度与土壤  $CO_2$ 排放量关系可知,5 cm 土壤温度与土壤  $CO_2$ 排放量相关性最明显,且 DT 和 PT 处理 5 cm 土壤温度与土壤  $CO_2$ 排放

量呈显著正相关(相关系数 0.52),因此,本研究用 5 cm土壤温度分析土壤温度与土壤 CO2排放量的关 系。结果显示,指数方程和二次函数方程均可拟合 土壤温度与土壤 CO<sub>2</sub>排放量的关系(表 1)。指数方 程拟合下,土壤温度可以解释土壤 CO,排放量季节 变化的 9.40% ~ 32.78%, 其中, PT、DT 和 NT 处理 下,土壤温度分别可以解释土壤 CO,排放量季节变 化的 18.39%~19.70%、17.68%~32.78%和 9.40%~ 14.87%,其 Q10 值分别为 1.22~1.23、1.17~1.33 和 1.11~1.15;二次函数拟合下,土壤温度分别可以解 释 PT、DT 和 NT 处理土壤 CO,排放量季节变化的 50.72% ~ 53.90%、48.10% ~ 59.63% 和 13.31% ~ 19.90%。说明,二次函数方程比指数方程更适于拟 合不同耕作方式下旱作夏玉米田土壤 CO,排放量和 土壤温度的关系。另外,由表1可知,2 a 试验期间, 无论是二次函数拟合还是指数方程拟合结果均一 致,均表现为翻耕和深松耕处理下土壤温度与土壤 CO,排放量拟合结果优于免耕,说明翻耕和深松耕条 件下,土壤温度对土壤呼吸速率的敏感性高于免耕。

表 1 土壤 CO<sub>2</sub>排放量与 5 cm 土层土壤温度指数拟合方程

Table 1 Fitted equation of soil CO, flux with 5 cm's soil temperature value

年份 Year	处理 Treatment	拟合方程(指数) Fitted equation	$R^2$	$Q_{10}$	拟合方程(二次函数) Fitted equation	$R^2$
2010	NT	$R = 584.93e^{0.011T}$	0.0940	1.11	$R = -277.27 + 57.62T - 1.50T^2$	0.1331
	PT	$R = 358.00e^{0.021T}$	0.1839	1.23	$R = -2174.09 + 233.98T - 4.79T^2$	0.5390
	DT	$R = 331.16e^{0.029T}$	0.3278	1.33	$R = -2067.223.01T - 4.42T^2$	0.5963
2011	NT	$R = 731.80e^{0.014T}$	0.1487	1.15	$R = -727.16 + 94.79T - 2.28T^2$	0.1990
	PT	$R = 754.71e^{0.020T}$	0.1970	1.22	$R = -1716.96 + 194.07T - 4.18T^2$	0.5072
	DT	$R = 692.72e^{0.016T}$	0.1768	1.17	$R = -1882.78 + 217.03T - 4.70T^2$	0.4810

### 2.3 不同耕作方式下旱作夏玉米田土壤水分与土 壤 CO,排放量的关系

2010年,整个生育期间 DT、NT 和 PT 处理 0~

40 cm 土壤水分均值分别为 21.34%、22.53% 和 21.22%,2011 年分别为 22.91%、23.03%和 22.72%, 2 a 试验期间, NT 处理土壤水分均值明显高于 DT

和 PT(P>0.05),且生育前期(2010年为播种后 0~55 d,2011年播种后 0~40 d)表现明显,如 2010年播种前 1 d至播种后 55 d,NT 处理土壤含水量分别比 DT 和 PT 高 6.38%和 4.75%,播种后 55~113 d分别高 3.79 和 2.74%,说明 NT(免耕)处理较其他 2种耕作方式有较好的蓄水保墒效果,但生育后期差异逐渐缩小。

除土壤温度外,土壤水分也是影响土壤 CO<sub>2</sub>排放量的主要因素<sup>[1,5-6]</sup>。本研究中,单独分析土壤 CO<sub>2</sub>排放量与土壤水分关系时,两者无明显相关性 (P>0.05),二次函数拟合下,土壤水分仅分别可以解释 2010、2011 年夏玉米生长季土壤 CO<sub>2</sub>排放量季节变化的 15.89%~25.95%、0.82%~18.39%。但试验区夏玉米生长季降雨量占年降雨量的 63.3%~70.6%,且该时间段气温高、水分蒸发量大,这种强蒸发、高温炎热相叠合的独特气候特征,使得在预

测土壤 CO。排放量时不得不综合考虑土壤水分与土 壤温度的相互作用。诸多研究显示,将土壤温度和 土壤水分整合成一个方程可以提高土壤 CO,排放量 预测的准确性[1,5-6,9]。本研究显示,采用 R=a+bT+cW+dTW 函数方程可以较好拟合土壤 CO,排放量与 土壤水和温度的关系(表2),试验条件下,土壤温度 和土壤水分共同分别可以解释 DT、PT 和 NT 处理土 壤 CO, 排放量季节变化的 57.61%~76.83%、56.62% ~67.12%和21.26%~22.32%。说明,土壤温度和水 分是影响 DT 和 PT 处理下土壤 CO, 排放量的主要 因素。另外,由表2可知,2 a 试验期间,深松耕和翻 耕处理土壤温度、土壤水分与土壤 CO,排放量拟合 结果均优于免耕,说明深松耕和翻耕条件下土壤温 度和水分对土壤 CO,排放量的敏感性高于免耕,且 R=a+bT+cW+dTW 函数方程可以较好预测不同水温 条件下旱作夏玉米田土壤 CO,排放量。

表 2 土壤 CO<sub>2</sub>排放量与土壤水分和土壤温度拟合方程

Table 2  $\,$  Fitted equation of soil  $\mathrm{CO}_2$  flux and soil moisture and soil temperature

年份 Year	处理 Treatment	拟合方程 Fitted equation	$R^2$	F	P
2010	NT	R = -898.44 + 58.69W + 29.36T - 1.69WT	0.2232	0.7660	0.5443
	PT	R = 1858.37 - 78.82W - 79.64T + 4.57WT	0.6712	5.4438	0.0247
	DT	R = 691.74 - 34.47W - 23.99T + 2.52WT	0.7683	8.8405	0.0064
	NT	R = -2063.85 + 111.22W + 98.60T - 4.84WT	0.2126	0.8098	0.5197
2011	PT	R = -2398.46 + 135.63W + 109.20T - 5.23WT	0.5662	1.3243	0.3250
	DT	R = -2157.12 + 122.38W + 98.07T - 4.47WT	0.5761	1.1443	0.3827

## 3 结论与讨论

### 3.1 耕作方式对土壤 CO<sub>2</sub>排放量的影响

夏玉米生长季,深松耕和翻耕处理土壤 CO<sub>2</sub>排 放量显著高于免耕,主要是因为深松耕和翻耕对土 壤的扰动程度高于免耕,耕翻措施在一定程度上改 变了土壤通透性,促使有机质分解,并将前茬作物 的脱落物和根茬掩埋至土壤深处,加速腐解,表现 为土壤 CO<sub>2</sub>排放量增加<sup>[5-6,11-12]</sup>;与翻耕和深松耕比 较,免耕有效减少土壤扰动及土壤与空气的接触机 会,抑制有机质分解,减少土壤碳排放量,这与张丁 辰等[6]、张宇等[11]、胡立峰等[12]研究结果一致。本 研究条件下,深松耕处理土壤 CO<sub>2</sub>排放量高于翻耕, 这与刘武仁等[10]的少免耕处理土壤 CO,排放量低 于传统耕作的结论不一致,这可能是因为本研究中 深松耕耕深达 35 cm, 犁底层打破有效促进了玉米 根系生长,根呼吸和根际微生物呼吸增强,进而表 现为土壤 CO,排放量增加。前期研究显示[7],本试 验条件下深松耕处理夏玉米根长达 58.2 cm,显著高 于翻耕(50.00 cm)和免耕(40.40 cm)。Luo 等[13]研 究也显示,根呼吸占土壤呼吸的 50% 左右,不同试验条件下根呼吸占土壤呼吸的比例为 10% ~90%<sup>[14]</sup>,根呼吸排放出 CO<sub>2</sub>是土壤 CO<sub>2</sub> 的重要来源。本研究中,2 a 试验期间免耕处理土壤 CO<sub>2</sub>排放量变化不明显,说明免耕土壤各项理化性质较翻耕和深松耕处理更为稳定,当外界气候条件发生变化时受影响较小<sup>[13]</sup>;年际间,不同耕作方式土壤 CO<sub>2</sub>排放量表现出明显差异,这可能与年际间气温和降雨存在差异有关。

### 3.2 土壤水分、温度对土壤 CO<sub>2</sub>排放量的影响

耕作方式对土壤温度、水分影响明显[5-7,11,13-14]。本研究中,不同耕作方式下土壤温度表现为PT>DT>NT,且在夏玉米生育前期(播种后0~30 d)表现明显,后期(播种50 d后)差异逐渐缩小,这与Hatfield等[14]研究的免耕可暂时保墒但可降低生育前期土壤温度的结果一致,生育后期各处理差异逐渐缩小可能是因为随植物生长发育,植物地表植被遮蔽程度增加,太阳辐射对土壤温度影响逐渐减弱[15],使处理间差异逐渐缩小。2 a 试验期间,NT 处理土壤水分均值明显高于 DT 和 PT,且在

生育前期(2010年为播种后 0~55 d,2011年播种后 0~40 d)表现明显,生育后期差异逐渐缩小,说明免耕未进行翻耕,表土水分损失较小,较其他处理有较好的蓄水保墒效果,生育后期差异逐渐缩小可能与人为干扰、作物生长及降雨等因素有关[5-6,9,11,13]。

土壤 CO,排放是一个复杂的过程,其受土壤温 度、水分以及有机质、微生物等诸多因素的影 响[1,5-6,8,11,13]。众多研究显示[5-6,8-9,11,16-17],土壤温 度是影响土壤 CO<sub>2</sub>排放的关键因素,明确土壤温度 与土壤 CO。排放量间的关系,有助于准确估算不同 耕作方式下土壤 CO<sub>2</sub>排放量的大小,进而帮助预测 陆地生态系统土壤碳库在未来气候变化情形下碳 源汇转化对气候变化的影响。前人多采用乘幂 (Power)、线形(Linear)、二次(Quadratic)、指数(Exponential)模型等分析土壤温度与土壤 CO,排放量 的关系,建立的模型不同得到的结论也存在一定差 异[1,5-6,8,11],本研究显示,指数方程和二次函数方程 均可以拟合土壤温度与土壤 CO,排放量的关系,且 二次函数拟合的准确性高于指数方程。王立刚 等[15]、李虎等[1]研究均显示,土壤水分也是影响农 田土壤 CO,排放量的主要因素,土壤水分主要通过 影响土壤通气状况和氧化还原状况影响土壤碳排 放;也有研究显示[18],土壤水分主要通过影响植物 根系分布、土壤微生物呼吸及根呼吸等影响土壤碳 排放。本研究显示,单独分析土壤水分与土壤 CO, 排放量时,两者相关性不显著,说明,土壤水分不是 影响土壤 CO,排放的直接因素,这与陈述悦等[19]、 李虎等[1]研究结果一致。有研究显示[1,5-6,8,19],土 壤水分与土壤温度相互协调共同影响土壤 CO,排 放。韩广轩等[8-9]研究得出,土壤水分和温度与土 壤  $CO_2$ 排放量的关系可用模型  $R = ae^{bT}Wc_{x}R = a + bT +$ cW+dTW 等描述。本研究显示,模型 R=a+bT+cW+dTW 可以较好反映土壤温度、水分与土壤 CO,排放 量的关系,且试验条件下,土壤温度和水分可以解 释 DT、PT 和 NT 处理土壤 CO,排放量季节变化的 57.61% ~ 76.83%、56.62% ~ 67.12% 和 21.26% ~ 22.32%。这也说明,土壤温度和水分是影响深松耕 和翻耕旱作夏玉米田土壤 CO<sub>2</sub>排放量的主要因素, 且土壤水分对土壤 CO,排放量的影响取决于与土壤 温度的相互协调作用。

# 4 结 论

夏玉米生长季,3 种耕作方式下土壤 CO<sub>2</sub>排放量均值表现为 DT>PT>NT(P<0.05),且随生育期推进呈先增后降的变化趋势;土壤水分和温度均为影

响土壤呼吸的主要因素,2 a 试验期间 NT 处理土壤水分均值明显高于 DT 和 PT,土壤温度表现为 PT>DT>NT;土壤温度和水分是影响 DT 和 PT 处理土壤  $CO_2$ 排放量的主要因素,两者共同分别可以解释 DT 和 PT 处理旱作夏玉米田  $CO_2$ 排放量季节变化的 57.61%~76.83%和 56.62%~67.12%。

#### 参考文献:

- [1] 李虎,邱建军,王立刚.农田土壤呼吸特征及根呼吸贡献的模拟分析[J].农业工程学报,2008,24(4):15-20.
- [2] 董红敏,李玉娥,陶秀萍,等. 中国农业源温室气体排放与减排技术对策[J]. 农业工程学报, 2008, 24(10): 269-273.
- [3] IPCC. Special report on fluxs scenarios: a special report of Working Group 
  ☐ of the Intergovernmental Panel on Climate Change [M]. Cambridge: Cambridge University Press, 2000.
- [4] 刘合明, 刘树庆. 不同施氮水平对华北平原冬小麦土壤 CO<sub>2</sub>通量的影响[J]. 生态环境, 2008, 17(3): 1125-1129.
- [5] 刘爽,严昌荣,何文清,等.不同耕作措施下旱作农田土壤呼吸及其影响因素[J].生态学报,2010,30(11):2919-2924.
- [6] 张丁辰, 蔡典雄, 代快,等. 旱作农田不同耕作土壤呼吸及其对水热因子的响应[J]. 生态学报, 2013, 33(6): 1916-1925.
- [7] 张俊丽, Sikander Khan Tanveer, 温晓霞, 等. 不同耕作方式下 旱作玉米田土壤呼吸及其影响因素[J].农业工程学报, 2012, 28(18): 192-199.
- [8] 韩广轩,周广胜,许振柱,等.玉米地土壤呼吸作用对土壤温度和生物因子协同作用的响应[J].植物生态学报,2007,31(3):363-371.
- [9] 韩广轩,周广胜,许振柱.玉米生长季土壤呼吸的时间变异性 及其影响因素[J].生态学杂志,2008,27(10):1698-1705.
- [10] 刘武仁,郑金玉,罗洋,等. 玉米秸秆还田对土壤呼吸速率的影响[J]. 玉米科学, 2011, 19(2): 105-108, 113.
- [11] 张宇,张海林,陈继康,等. 耕作措施对华北农田  $CO_2$ 排放影响及水热关系分析[J]. 农业工程学报,2009,25(4):47-52.
- [12] 胡立峰,李洪文,高焕文. 保护性耕作对温室效应的影响 [J]. 农业工程学报, 2009, 25(5): 308-312.
- [13] Luo Yiqi, Zhou Xuhui. 姜丽芬, 曲来叶, 周玉梅, 等译. 土壤呼吸与环境[M]. 北京: 高等教育出版社, 2007.
- [14] Hatfield J L, Allmaras R R, Rehm G W, et al. Ridge tillage for corn and soybean production: environmental quality impacts[J]. Soil & Tillage Research, 1998, 48(3): 145-154.
- [15] 宋振伟,郭金瑞,邓艾兴,等. 耕作方式对东北春玉米农田土壤水热特征的影响[J]. 农业工程学报,2012,28(16):108-114.
- [16] Hanson P J, Edwards N T, Garten C T, et al. Separating root and soil microbial contributions to soil respiration: a review of methods and observation [J]. Biogeochemistry, 2000, 48: 115-146.
- [17] 王立刚,邱建军,李维炯. 黄淮海平原地区夏玉米农田土壤呼吸的动态研究[J]. 土壤肥料,2002,(6):13-17.
- [18] 李银坤,陈敏鹏,夏旭,等.不同氮水平下夏玉米农田土壤呼吸动态变化及碳平衡研究[J].生态环境学报,2013,22(1):18-24.
- [19] 陈述悦,李俊,陆佩玲,等.华北平原麦田土壤呼吸特征[J]. 应用生态学报,2004,15(9):1552-1560.